



تحلیل آنالیز حساسیت ناپایداری و فرکانسی نanolوله‌های کربنی تک لایه حامل سیال در محیط ترمومغناطیسی با اثرات الاستیستیته سطح

هدیه محجوب^۱، حبیب رمضان نژاد آزاربئی^{۲*}

۱- مهندسی پزشکی، واحد علوم و تحقیقات، دانشگاه آزاد اسلامی، تهران، ایران

۲- مهندسی مکانیک، واحد رامسر، دانشگاه آزاد اسلامی، رامسر، ایران

تاریخچه داوری:

دریافت: ۱۳۹۹/۰۷/۱۷

بازنگری: ۱۳۹۹/۱۰/۱۵

پذیرش: ۱۳۹۹/۱۲/۱۰

ارائه آنلاین: ۱۳۹۹/۱۲/۱۵

کلمات کلیدی:

نانولوله کربنی حامل سیال

آنالیز حساسیت

محیط ترمومغناطیسی

سرعت بحرانی سیال

تشن پسماند و الاستیستیته سطح

خلاصه: در این تحقیق بر اساس تئوری غیرمحلی تیر اویلر برنوی به تحلیل آنالیز حساسیت ناپایداری و فرکانسی نanolوله‌های کربنی تک لایه حامل سیال پرداخته شده است. در این تحلیل اثرات محیط ترمومغناطیسی، تش پسماند و الاستیستیته سطح، بستر ویسکوالاستیک و پارامتر غیرمحلی در استخراج معادلات حاکم بر حرکت سیستم اعمال شده است. برای حل معادلات حاکم از روش گالرکین به همراه توابع شکل مثالثاتی متناظر با شرایط مرزی استاندارد شامل تکیه‌گاه ساده، ساده-گیردار-ساده و گیردار-گیردار در دو انتهای نanolوله استفاده شده است. با استخراج ماتریس‌های جرم، سفتی و استهلاک سیستم، مقادیر ویژه و سرعت بحرانی متناظر با آستانه ناپایداری محاسبه شده است. برای تحلیل آنالیز حساسیت میدان مغناطیسی، تغییرات دما در دو حالت دمابالا و دمایپایین، طول نanolوله، قطر خارجی نanolوله و پارامتر غیرمحلی به عنوان فاکتورهای ورودی در نظر گرفته شده‌اند. اثر میزان حساسیت هر یک از فاکتورهای ورودی بر سرعت بحرانی سیال و فرکانس‌های طبیعی نanolوله کربنی حامل سیال به صورت کیفی و کمی محاسبه و با نرم‌آوری کردن با یکدیگر مقایسه شده است. نتایج تحلیل آنالیز حساسیت انجام شده را می‌توان در طراحی بهینه یا هدف محور نanolوله‌های کربنی تک لایه حامل سیال در کاربردهای مختلف به ویژه در تحویل داروهای برای از بین بردن سلول‌های سرطانی مورد استفاده قرار داد.

۱- مقدمه

nanolوله‌های کربنی به دلیل خواص فیزیکی عالی همراه با اندازه کوچک و هندسه توخالی می‌توانند برای کاربرد بیولوژیکی مانند nanolوله انتقال دارو به منظور از بین بردن سلول‌های سرطانی متناسباتیک به کار روند. تحویل انتخابی داروهای ضد سرطان، به نام درمان هدف، با به کار گیری nanolوله‌های کربنی به عنوان یک حامل ایده‌آل برای سیستم‌های انتقال دارو، به طور قابل چشمگیری درمان سرطان را بهبود خواهد بخشید. داروهای ضد سرطان می‌توانند با استفاده از nanolوله تحت هدایت میدان مغناطیسی به سلول‌های سرطانی یا بافت‌های سرطانی منتقل شوند. به دلیل حساسیت بالای فرآیند تحویل دارو، تحلیل پایداری دینامیکی و پاسخ ارتعاشی nanolوله‌های کربنی حامل سیال تحت میدان مغناطیسی از اهمیت زیادی برخوردار است و توسط دانشمندان مورد توجه قرار گرفته است. تحقیقات زیادی در مورد ناپایداری دینامیکی و آنالیز ارتعاش nanolوله کربنی با استفاده از تئوری‌های مختلف وجود دارد.

* نویسنده عهده‌دار مکاتبات: h.ramezannejad@iauramsar.ac.ir

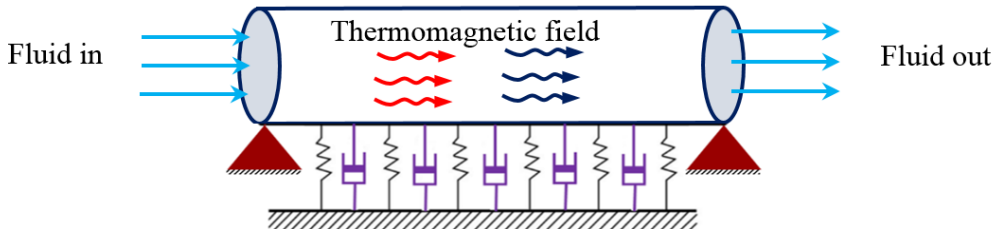
(Creative Commons License) حقوق مؤلفین به نویسنده‌گان و حقوق ناشر به انتشارات دانشگاه امیرکبیر داده شده است. این مقاله تحت لیسانس آفرینندگی مردمی در دسترس شما قرار گرفته است. برای جزئیات این لیسانس، از آدرس <https://www.creativecommons.org/licenses/by-nc/4.0/legalcode> دیدن فرمائید.

و سرعت بحرانی برای نانو تیر آلومینیوم و باعث افزایش فرکانس و سرعت بحرانی نانو تیر سیلیکون می‌شود. وانگ و همکارانش [۱۲] بر اساس تئوری الاستیسیته غیر محلی تیر و با به کارگیری روش مربعات دیفرانسیل برای گستته سازی معادله دیفرانسیل جزئی اثر میدان مغناطیسی را مورد بررسی قرار دادند. نتایج عددی نشان می‌دهد که با اضافه کردن یک میدان مغناطیسی طولی، رفتارهای دینامیکی فرکانس و سرعت بحرانی بهبود یافته و سرعت بحرانی سیال افزایش می‌یابد. علاوه بر این، این میدان مغناطیسی می‌تواند پایداری دینامیکی سیستم را کنترل کند. به‌هائینی و همکاران [۱۳] [۱۴] ارتعاشات آزاد و ناپایداری فلاتر در نانولوله‌های حامل سیال را با توجه به اثر شرایط لغزش و الاستیسیته غیر محلی مورد مطالعه قرار دادند. آن‌ها نتیجه گرفتند اثر عدد نادسن و ضرایب میرایی بر مقادیر ویژه اثری قابل توجه نیست. اویسی و همکاران [۱۵] پاسخ ارتعاشی دو نوع سیال مختلف در نانولوله‌های کربنی تک‌لایه را با درنظر گرفتن اثر اندازه کوچک نانو سیالات و نانو ساختار مورد بررسی قرار دادند. آن‌ها دریافتند که عدد نادسن تأثیر قابل توجهی بر کاهش سرعت جریان بحرانی دارد. اویسی و قاسمی [۱۶] ارتعاش نانولوله‌های کربنی تک‌لایه و انتشار موج طولی و عرضی با استفاده از جریان وابسته به ضریب نادسن و تئوری غیر محلی ارینگن را تحلیل کردند. صادقی و همکاران [۱۷-۱۹] شرایط پایداری نانولوله‌های کربنی تک‌لایه حامل سیال تحت میدان مغناطیسی و دما در فرآیند تحويل داروی خدسرطان را مورد مطالعه قرار دادند. اثرات میدان مغناطیسی، ضریب سرعت، پارامتر غیر محلی روی فرکانس و سرعت بحرانی نانولوله‌های کربنی تک‌لایه مورد بررسی قرار گرفته است. چنگ و همکاران [۲۰] مطالعه ارتعاشات آزاد نانولوله‌های هیبریدی حامل سیال مت Shank از نانولوله‌های کربنی و نانولوله‌های نیترید بور را انجام دادند. حسینی و همکاران [۲۱] فلاتر و ناپایداری نانولوله پیزوالکترویک حامل سیال را براساس نظریه تیر اویلر-برنولی غیر محلی مورد بررسی قرار دادند. شرط لغزش بین جریان و دیواره نانولوله توسط عدد نادسن مدل‌سازی شد. لی و وانگ [۲۲] تئوری تغییر شکل برشی مرتبه اول و تئوری گرادیان کرنش غیر محلی را برای مطالعه شرایط ناپایداری سیال حامل نانولوله‌های لیپیدی به کار برdenد. اثرات خواص هندسی و پارامتر غیر محلی برای نانولوله‌های چربی حامل سیال مختلف مورد بحث قرار گرفت. صدیقی [۲۳] ناپایداری و فلاتر نانولوله کربنی و نیترید بور را در معرض میدان مغناطیسی و دما براساس مدل تیر اویلر-برنولی با درنظر گرفتن ضریب تصحیح سرعت برای شرایط لغزش مختلف بررسی کرد.

با افزایش دما، سرعت جریان بحرانی و فرکانس‌های طبیعی افزایش خواهد یافت. همچنین پارامتر غیر محلی تأثیر نسبتاً کمتری بر فرکانس مرتبه اول دارد و این اثر در مودهای بالاتر افزایش می‌یابد.

سلطانی و همکاران [۵] پایداری و ارتعاشات نانولوله‌های کربنی تک‌لایه حامل سیال لزج را تحت یک بافت نرم زیستی ویسکوالاستیک براساس مدل تیر اویلر-برنولی الاستیک غیر محلی بررسی کردند. اثرات پارامتر غیر محلی، ضریب بستر ویسکوالاستیک برای بررسی فرکانس رزونانس در نظر گرفته شد. کاویانی و میردامادی [۶] با درنظر گرفتن عدد نادسن و شرط مرزی لغزش، مدلی را برای مسائل واکنش سیال-جامد در نانولوله پیشنهاد کردند. آن‌ها نتیجه گرفتند که با افزایش ضریب نادسن، در ابتدا، ویسکوزیته مایع به طور چشمگیری افزایش می‌یابد و پس از آن این نرخ رشد کاهش می‌یابد و یکنواخت می‌شود. چانگ [۷] مدلی را بر اساس یک تیر برنولی-اویلر الاستیک برای نانولوله‌های کربنی تک‌لایه حامل سیال توسعه داد. اثرات تغییر دما، پارامتر غیر محلی و ضریب بستر الاستیک بر فرکانس ارتعاش نانولوله کربنی تک‌جداره حامل سیال به طور عددی و با استفاده روش المان محدود مورد بررسی قرار گرفت. نتایج نشان می‌دهد که فرکانس طبیعی و سرعت جریان بحرانی به سطح دما بستگی دارد. در حالت دماپایین، افزایش دما باعث افزایش فرکانس طبیعی و سرعت جریان بحرانی می‌شود، در حالی که در حالت دمابالا با افزایش دما، فرکانس طبیعی و سرعت جریان بحرانی کاهش می‌یابد.

وانگ [۸] مدل تیر اویلر-برنولی را برای محاسبه فرکانس و سرعت بحرانی نانولوله‌های کربنی تک‌لایه حامل را با درنظر گرفتن اثر سطح ارائه داد. نتایج نشان می‌دهد که کشنش سطحی فرکانس پایه و سرعت بحرانی را افزایش می‌دهد. لیانگ و سو [۹] با استفاده از روش گالرکین و بر اساس تئوری الاستیسیته غیر محلی فرکانس‌های طبیعی نانولوله‌های کربنی تک‌لایه را محاسبه کردند. اثرات پارامتر غیر محلی، ویسکوزیته سیال بر فرکانس طبیعی، سرعت جریان بحرانی و پایداری دینامیکی نانولوله‌های کربنی تک‌لایه مورد تحلیل قرار گرفت. ژانگ و همکاران [۱۰] روش موج را برای تحلیل ارتعاش نانولوله کربنی حامل سیال معرفی کردند. با این روش، پنج مود اول فرکانس‌های طبیعی نانولوله‌های کربنی تک‌لایه در سرعت‌های مختلف محاسبه می‌شوند. ژانگ و مگوید [۱۱] بر اساس تئوری تیر تیموشنکو معادله ارتعاشی عرضی حرکت نانو تیر حامل سیال را با درنظر گرفتن اثر الاستیسیته سطح، فرمول بندی کردند. به دلیل خواص الاستیسیته سطح متفاوت، در نظر گرفتن اثر سطح موجب کاهش فرکانس



شکل ۱. شماتیکی از نanolوله کربنی تک لایه حامل سیال روی بستر ویسکوالاستیک تحت میدان ترمومغناطیسی

Fig. 1. Schematic of single-walled CNT conveying fluid under viscoelastic foundation subjected to the thermomagnetic field

$$m_c \frac{\partial^2 w(x,t)}{\partial t^2} = \frac{\partial^2 M(x,t)}{\partial x^2} + F_{ext}$$

$$M(x,t) - (e_0 a)^2 \frac{\partial^2 M(x,t)}{\partial x^2} =$$

$$-EI \frac{\partial^2 w(x,t)}{\partial x^2} \quad (1)$$

که m_c جرم Nanolوله در واحد طول، $w(x,t)$ جابجایی عرضی Nanolوله، F_{ext} نیروی خارجی اعمال شده در واحد طول و I برآیند گشتاور خمی، $e_0 a$ پارامتر غیرمحلي، E مدول الاستیک و $M(x,t)$ مجموع نیروهای برهmekنش سیال جامد ($F_f(x,t)$ ، نیروی ناشی از تنفس ایزرسی است. همچنین نیروی خارجی اعمال شده به Nanolوله شامل مجموع نیروهای پسمند ($F_\tau(x,t)$ ، نیروی بستر ویسکوالاستیک ($F_m(x,t)$ ، نیروی معادل دمایی ($F_T(x,t)$ و $F_B(x,t)$ نیروی ناشی از میدان مغناطیسی است.

$$F_{ext} = F_f(x,t) + F_\tau(x,t) +$$

$$F_m(x,t) + F_T(x,t) + F_B(x,t) \quad (2)$$

نیروی برهmekنش سیال-جامد ناشی از حرکت سیال در داخل Nanolوله کربنی تک لایه را می‌توان به فرم زیر بیان نمود.^[۱۶]

بر طبق مراجع مورد مطالعه در بخش اول مقدمه می‌توان دریافت که بیشتر مطالعات انجام شده در زمینه تحلیل پایداری Nanolوله‌های حامل سیال مربوط به محاسبه فرکانس و سرعت بحرانی محدود و تحلیل آنالیز حساسیت پارامترهای مختلف بر فرکانس و سرعت بحرانی انجام نشده است. هدف اصلی و نوآوری تحقیق حاضر، بررسی تحلیل حساسیت پارامترهای مختلف از جمله میدان مغناطیسی، تغییرات دما، طول Nanolوله، قطر خارجی و پارامتر غیرمحلي روی سرعت بحرانی و فرکانس‌های Nanolوله کربنی تک لایه حامل سیال برای شرایط مرزی استاندارد مختلف است. اثرات میدان ترمومغناطیسی، تنش باقیمانده و اثر الاستیسیته سطح، در مدل‌سازی غیرمحلي تیر اویلر-برنولی در نظر گرفته شده است. روش گالرکین با تابع شکل مثلثاتی برای شرایط مرزی مختلف شامل ساده-ساده، گیردار-گیردار و گیردار-ساده برای استخراج ماتریس جرم، سفتی و استهلاک سیستم‌ها به کار گرفته شده است. فرکانس‌های اول تا سوم طبیعی و سرعت بحرانی Nanolوله کربنی تک لایه حامل سیال محاسبه شده است. شدت مغناطیسی، تغییرات دما، طول Nanolوله، پارامترهای غیرمحلي و قطر خارجی Nanolوله به عنوان فاکتورهای ورودی آنالیز حساسیت Nanolوله کربنی تک لایه حامل سیال انتخاب شده‌اند.

۲- استخراج معادلات حرکت Nanolوله کربنی تک لایه حامل سیال

شکل ۱ شماتیکی از Nanolوله کربنی تک لایه حامل سیال تحت میدان ترمومغناطیسی روی بستر ویسکوالاستیک را نشان می‌دهد. بر اساس مدل تیر اویلر-برنولی و تئوری غیرمحلي خطی الاستیک، معادله کلی ارتعاشات عرضی تیر تحت بار خارجی عرضی را می‌توان به فرم زیر بیان کرد.^[۱۸]

در رابطه (۷) ضریب نفوذپذیری میدان مغناطیسی B_0 شدت میدان مغناطیسی اعمالی است. با اعمال نیروهای بیان شده در روابط (۳) تا (۷) در معادله (۱)، معادله حرکت نanolوله کربنی تک لایه حامل سیال روی بستر ویسکوالاستیک تحت میدان ترمومغناطیسی با درنظرگرفتن اثرات تنفس پسماند و الاستیسیته سطح را می‌توان به فرم زیر بیان نمود.

$$EI * \frac{\partial^4 w(x,t)}{\partial x^4} + (m_f + m_c) \frac{\partial^2 w(x,t)}{\partial t^2} + m_f v^2 \frac{\partial^2 w(x,t)}{\partial x^2} + 2m_f v \frac{\partial^2 w(x,t)}{\partial x \partial t} + C_m \frac{\partial w(x,t)}{\partial t} + K_m w(x,t) - (e_0 a)^2 \left\{ (m_f + m_c) \frac{\partial^4 w(x,t)}{\partial t^2 \partial x^2} + m_f v^2 \frac{\partial^4 w(x,t)}{\partial x^4} + 2m_f v \frac{\partial^4 w(x,t)}{\partial x^3 \partial t} + C_m \frac{\partial^3 w(x,t)}{\partial t \partial x^2} + K_m \frac{\partial^2 w(x,t)}{\partial x^2} \right\} = 0 \quad (8)$$

که در رابطه (۸) $e_0 a$ پارامتر غیر محلی و EI^* سفتی خمسی مؤثر با در نظر گرفتن الاستیسیته سطح است که به فرم زیر قابل بیان است.

$$EI^* = \frac{\pi E (d_{out}^4 - d_{in}^4)}{64} + \frac{\pi E_s (d_{out}^3 + d_{in}^3)}{8} \quad (9)$$

که در رابطه (۹) E_s مدول الاستیک سطح است. با تولید پارامترها و متغیرهای بی بعد زیر

$$F_f(x,t) = -m_f \left(\frac{\partial^2 w(x,t)}{\partial t^2} + v^2 \frac{\partial^2 w(x,t)}{\partial x^2} + 2v \frac{\partial^2 w(x,t)}{\partial x \partial t} \right) \quad (3)$$

در رابطه (۳) m_f جرم سیال در واحد طول و V سرعت میانگین سیال بدون شرط لغزش است. بر اساس معادلات کلی یونگ-لاپلاس، نیروی توزیعی عرضی ناشی از درنظرگرفتن تنفس پسماند سطح را می‌توان به فرم زیر بیان نمود. [۸]

$$F_\tau(x,t) = 2\tau_s (d_{out} + d_{in}) \frac{\partial^2 w(x,t)}{\partial x^2} \quad (4)$$

در رابطه (۴) τ_s تنفس سطحی پسماند، d_{in} و d_{out} به ترتیب قطرهای خارجی و داخلی نanolوله تک لایه در نظر گرفته می‌شوند. نیروی ناشی از بستر ویسکوالاستیک را می‌توان بر طبق رابطه کلوین-ویت به فرم زیر ارائه نمود. [۱۸]

$$F_m(x,t) = C_m \frac{\partial w(x,t)}{\partial t} + K_m w(x,t) \quad (5)$$

که K_m و C_m به ترتیب ضریب میرایی و سفتی بستر ویسکوالاستیک هستند. نیروی ناشی از میدان دمایی نیز به فرم زیر قابل بیان است. [۱۸]

$$F_T(x,t) = -\frac{EA}{1-2\nu} \alpha_x \Delta T \frac{\partial^2 w(x,t)}{\partial x^2} \quad (6)$$

در رابطه (۶) α_x ضریب انبساط دمایی در راستای محوری، ν ضریب پواسون نanolوله و ΔT تغییرات دمایی محسوب می‌شوند. همچنین نیروی ناشی از میدان مغناطیسی نیز به صورت زیر بر اساس روابط ماکسول بیان می‌شود. [۱۸]

$$F_B(x,t) = \frac{1}{\eta} B_0^2 A \frac{\partial^2 w(x,t)}{\partial x^2} \quad (7)$$

$$[M]\{A_i''(\tau)\} + [C]\{A_i'(\tau)\} + [K]\{A_i(\tau)\} = 0 \quad (11)$$

$\Gamma(\tau, \xi) = \sum_{i=1}^N A_i(\tau) \varphi_i(\xi)$ هرگاه تابع شکل را به فرم کلی در نظر بگیریم عناصر ماتریس‌های $[M], [C], [K]$ به فرم زیر هستند.

$$M_{ij} = \int_0^1 \left(\varphi_i(\xi) - \mu \frac{d^2 \varphi_i(\xi)}{d\xi^2} \right) \varphi_j(\xi) d\xi \quad (12)$$

$$C_{ij} = \int_0^1 \left(2\nu\sqrt{\beta} \frac{d\varphi_i(\xi)}{d\xi} + \alpha_c \varphi_i(\xi) \right. \quad (13)$$

$$\left. - \mu \left(2\nu\sqrt{\beta} \frac{d^3\varphi_i(\xi)}{d\xi^3} + \alpha_c \frac{d^2\varphi_i(\xi)}{d\xi^2} \right) \right) \varphi_j(\xi) d\xi$$

$$K_{ij} = \int_0^1 \left(\frac{d^4\varphi_i(\xi)}{d\xi^4} + \nu^2 \frac{d^2\varphi_i(\xi)}{d\xi^2} + \alpha_K \varphi_i(\xi) \right. \quad (14)$$

$$\left. + \alpha_F \frac{d^2\varphi_i(\xi)}{d\xi^2} \right) \varphi_j(\xi) d\xi$$

$$- \int_0^1 \mu \left(\nu^2 \frac{d^4\varphi_i(\xi)}{d\xi^4} + \alpha_K \frac{d^2\varphi_i(\xi)}{d\xi^2} + \alpha_F \frac{d^4\varphi_i(\xi)}{d\xi^4} \right) \varphi_j(\xi) d\xi$$

با توجه به روابط (۱۲) تا (۱۴) که به ترتیب عناصر ماتریس‌های جرم، استهلاک و سفتی را تولید می‌کنند با استفاده از روش عددی مقادیر ویژه متناظر محاسبه می‌شود. دقت جواب به دست آمده به تعداد جملات در نظر گرفته با به کار گیری تابع شکل مثلثاتی ارائه شده در جدول ۱ وابسته است. با تولید ماتریس‌های جرم، سفتی و استهلاک، مقادیر ویژه شامل فرکانس‌های طبیعی اول تا سوم به فرم کلی $\omega = \text{Re}(\omega) + i \text{Im}(\omega)$ استخراج می‌شود. مقدار موهومی ω متناظر با فرکانس طبیعی سیستم و مقدار حقیقی آن معیاری برای ناپایداری سیستم است. به عبارت دیگر با تغییر مقدار حقیقی از مقادیر منفی به مثبت به همراه بخش موهومی صفر، نanolole کربنی حامل سیال پایداری خود را از دست داده و در آستانه ناپایداری قرار

$$\Gamma(x, t) = \frac{w(x, t)}{L} \cdot \xi = \frac{x}{L} \cdot \tau =$$

$$\frac{t}{L^2} \sqrt{\frac{EI^*}{m_f + m_c}} \cdot v = VL \sqrt{\frac{m_f}{EI^*}} \cdot \mu = \left(\frac{e_0 a}{L} \right)^2$$

$$\alpha_c = C_m \frac{L^2}{\sqrt{EI^*(m_f + m_c)}} \cdot \alpha_K =$$

$$K_m \frac{L^4}{EI^*} \alpha_F = - \frac{EA}{1-2\nu} \alpha_X \Delta T +$$

$$2\tau_s (d_{in} + d_{out}) + \frac{1}{\eta} B_0^2 A$$

معادله حرکت نanolole کربنی تک لایه حامل سیال به فرم بی بعد زیر استخراج می‌شود.

$$\frac{\partial^4 \Gamma}{\partial \xi^4} + \frac{\partial^2 \Gamma}{\partial \tau^2} + \nu^2 \frac{\partial^2 \Gamma}{\partial \xi^2} + 2\nu\sqrt{\beta} \frac{\partial^2 \Gamma}{\partial \xi \partial \tau} +$$

$$\alpha_c \frac{\partial \Gamma}{\partial \tau} + \alpha_K \Gamma + \alpha_F \frac{\partial^2 \Gamma}{\partial \xi^2}$$

$$- \mu \left\{ \frac{\partial^2 \Gamma}{\partial \tau^2 \partial \xi^2} + \nu^2 \frac{\partial^4 \Gamma}{\partial \xi^4} + 2\nu\sqrt{\beta} \frac{\partial^4 \Gamma}{\partial \tau \partial \xi^3} \right. \quad (10)$$

$$\left. + \alpha_c \frac{\partial \Gamma}{\partial \tau \partial \xi^2} + \alpha_K \frac{\partial^2 \Gamma}{\partial \xi^2} + \alpha_F \frac{\partial^4 \Gamma}{\partial \xi^4} \right\} = 0$$

برای حل معادله (۱۰) و کاهش آن از معادلات مشتقه جزئی به معادلات مشتق معمولی از روش گالرکین به همراه تابع شکل مثلثاتی استفاده شده است. این تابع شکل مورد استفاده متناظر با شرایط مرزی استاندارد شامل تکیه‌گاه ساده–ساده، گیردار–ساده و گیردار–گیردار در دو انتهای نanolole کربنی تک لایه حامل سیال در نظر گرفته شده است. برای تکیه‌گاه ساده جابجایی و گشتاور صفر و برای تکیه‌گاه گیردار جابجایی و شبیه صفر است. این تابع شکل برای شرایط مرزی مختلف در جدول ۱ آورده شده است.

با اعمال تابع شکل ارائه شده در جدول یک برای شرایط مرزی مختلف و اعمال روش گالرکین می‌توان معادله حرکت مشتق زمانی سیستم را با ماتریس‌های جرم، سفتی و استهلاک به فرم زیر استخراج نمود.

جدول ۱. توابع شکل مثلثاتی برای شرایط مرزی مختلف نanolوله کربنی تک‌لایه حامل سیال

Table 1. Trigonometric shape functions for different boundary conditions of single-walled CNT conveying fluid

شرایط تکیه‌گاهی	تابع شکل	شرایط مرزی
$w(0,t) = w(L,t) = 0$ $\frac{\partial^2 w(0,t)}{\partial x^2} = \frac{\partial^2 w(L,t)}{\partial x^2} = 0$	$\Gamma(\tau, \xi) = \sum_{i=1}^N A_i(\tau) \sin(i\pi\xi)$	ساده-ساده
$w(0,t) = w(L,t) = 0$ $\frac{\partial w(0,t)}{\partial x} = 0, \frac{\partial w(L,t)}{\partial x} = 0$	$\Gamma(\tau, \xi) = \sum_{i=1}^N A_i(\tau) \sin(\pi\xi) \sin(i\pi\xi)$	گیردار-گیردار
$w(0,t) = w(L,t) = 0$ $\frac{\partial w(0,t)}{\partial x} = 0, \frac{\partial w(L,t)}{\partial x} = 0$	$\Gamma(\tau, \xi) = \sum_{i=1}^N A_i(\tau) \sin\left(\frac{\pi\xi}{2}\right) \sin(i\pi\xi)$	گیردار-ساده

کربنیتالی ماده مربوط است که با درنظرگرفتن اثر الاستیسیته سطح و تنفس پسماند سطحی می‌توانند ضرایب مختلف داشته باشند. لازم به ذکر است که خصوصیات سطح بهشت به جهت‌گیری بلوری لایه‌های سطحی بستگی دارند.

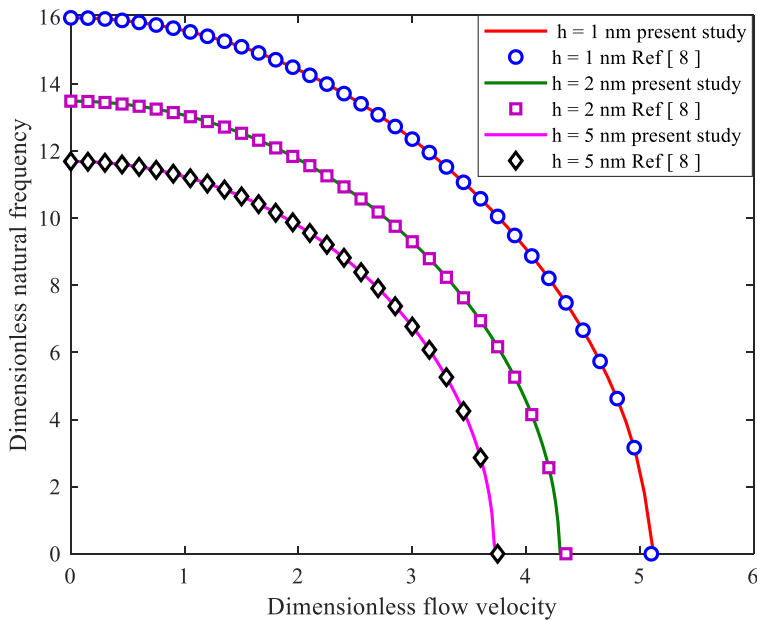
در ابتدا به منظور اعتبارسنجی، نتایج حاصل از تحقیق حاضر با مرجع [۸] مطابق شکل ۲ مقایسه شده است. در این مرجع مدول یانگ ۷۰ گیگاپاسکال، چگالی نanolوله ۲۷۰۰ کیلوگرم بر متر مکعب، قطر داخلی نanolوله ۲۰ نانومتر و تنفس پسماند سطحی و الاستیسیته سطح برای دو حالت {۱۱۱} و {۱۱۰/۰} نیوتون بر متر چگالی سیال ۱۰۰۰ کیلوگرم بر متر مکعب و شرایط مرزی مورد تحلیل در این مرجع به صورت ساده-ساده در دو انتهای سطح حالت {۱۱۱} در نظر گرفته شده است. با مشاهده نمودارهای ارائه شده در شکل ۲ می‌توان دریافت که نتایج حاصل از به کارگیری روش گالرکین در این تحقیق با نتایج حاصل از روش مربعات دیفرانسیلی مورد استفاده در مرجع [۸] تطابق بسیار خوبی دارد. همچنین از مطالعه منحنی‌های ارائه شده می‌توان دریافت که افزایش ضخامت موجب کاهش سفتی و در نتیجه کاهش مقادیر فرکانس طبیعی و سرعت بحرانی سیال دارد. این روند بیان می‌کند با درنظرگرفتن مقدار کمینه ضخامت افزایش سطح پایداری سیستم حاصل خواهد شد.

شکل ۳ مقایسه نتایج تغییرات سرعت بحرانی سیال را بر حسب تغییرات

خواهد گرفت. سرعت سیال متناظر با آستانه ناپایداری را به عنوان سرعت بحرانی سیال در نظر می‌گیرند.

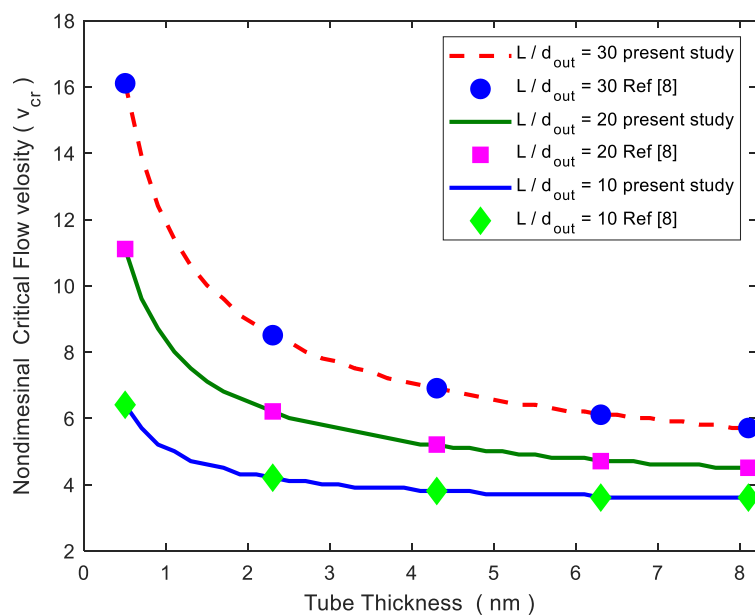
۳- تحلیل نتایج

nanololle کربنی تک لایه حامل سیال دارای خواص هندسی قطر خارجی ۷ نانومتر، ضخامت ۰.۳۴ نانومتر و طول بیست برابر قطر خارجی است. همچنین دارای ویژگی‌های مکانیکی به صورت مدول الاستیسیته ۱ تراپاسکال، چگالی ۱۳۰۰ کیلوگرم بر مترمکعب، ضریب پواسون ۰.۳، چگالی سیال ۱۰۰۰ کیلوگرم بر متر مکعب و پارامتر غیر محلی ۲نانومتر است. ضریب نفوذ ۰.۱ میکرو معکوس کلوین برای حالت دمابالا و ۰/۱ میکرو معکوس کلوین برای حالت دمابالین در نظر گرفته شده است. ضریب الاستیک بستر ویسکوالاستیک برابر ۱۰ مگا نیوتون بر متر مربع، ضریب استهلاک بستر ویسکوالاستیک برابر ۳ فمتو نیوتون ثانیه بر متر مربع، ضریب نفوذپذیری میدان مغناطیسی ۰/۱۲۵ میکرون است. تنفس پسماند سطحی و الاستیسیته سطح برای حالت {۱۱۱} ۹۱۰/۰ نیوتون بر متر و ۱۸۸۲/۵ نیوتون بر متر و برای حالت {۱۰۰} ۵۶۸۹/۰ نیوتون بر متر و ۹۲۵۳/۷ نیوتون بر متر در نظر گرفته شده است. وقتی نسبت سطح به حجم افزایش می‌یابد، عاملی به نام اثرات سطحی روی سطح نانو ساختارها موجب تعادل ایستایی اتم‌ها را در سطح می‌شود. حالت‌های {۱۱۱} و {۱۰۰} به دو حالت مختلف جهت‌گیری



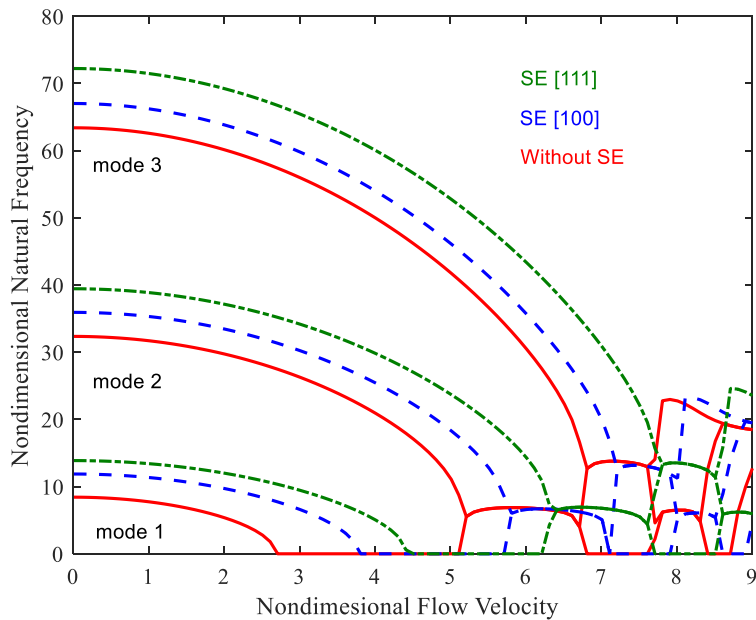
شکل ۲. مقایسه و اعتبارسنجی نتایج تغییرات فرکانس طبیعی برحسب سرعت سیال در نanolوله کربنی تک لایه تحقیق حاضر با مرجع [۸] برای نسبت طول به قطر خارجی ۱۰

Fig. 2. Comparison and verification natural frequency changes to the thickness of CNT present work with Ref [8] aspect ratio 10



شکل ۳. منحنی دیسپرژن سرعت فاز لوله فولادی با قطر ۲۲۰ میلی‌متر و ضخامت ۴.۸ میلی‌متر

Fig. 3. Phase velocity dispersion curves for a steel pipe with outer diameter of 220 mm and wall thickness of 4.8 mm



شکل ۴. اثر سطح بر فرکانس بی بعد نانولوله کربنی تک لایه حامل سیال تحت محیط ترمومغناطیسی در مود ۱ تا ۳ برای شرایط مرزی ساده-ساده

Fig. 4. The surface effect on the non-dimensional frequency at mode 1 to 3 of single-walled CNT conveying fluid with S-S boundary condition

جدول ۲. سه فرکانس بی بعد اول و سرعت بحرانی سیال نانولوله کربنی تک لایه حامل سیال برای شرایط مرزی مختلف

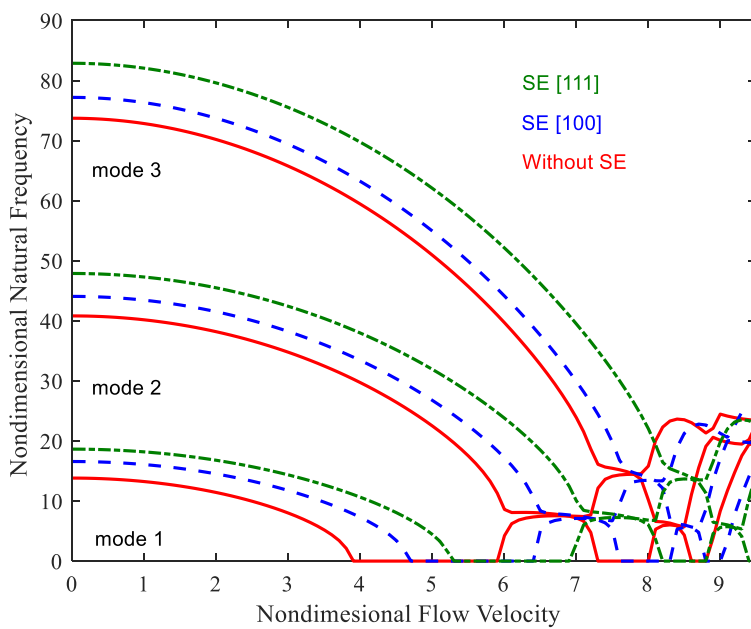
Table 2. Non-dimensional three lowest frequency and critical fluid velocity of single-walled CNT for different boundary conditions

فرکانس	فرکانس‌های طبیعی و سرعت بحرانی سیال												شرایط مرزی	
	بدون اثر سطح				اثر سطح {۱۰۰}				اثر سطح {۱۱۱}					
	فرکانس اول	فرکانس دوم	فرکانس سوم	سرعت بحرانی	فرکانس اول	فرکانس دوم	فرکانس سوم	سرعت بحرانی	فرکانس اول	فرکانس دوم	فرکانس سوم	سرعت بحرانی		
۸/۴۱	۳۲/۳۶	۶۳/۴	۲/۷۱	۱۱/۸۷	۳۵/۹۳	۶۷/۰۲	۳/۸۱	۱۳/۸۷	۳۹/۴۵	۷۲/۲۲	۴/۴۱	ساده-ساده		
۱۳/۸۲	۴۰/۸۱	۷۳/۷۲	۳/۹۱	۱۶/۵۸	۴۴/۰۶	۷۷/۱۹	۴/۷۱	۱۸/۶۴	۴۷/۸۵	۸۲/۸۷	۵/۳۱	گیردار-ساده		
۲۰/۴۷	۵۰/۰۵	۸۴/۴۲	۵/۲۱	۲۲/۶۹	۵۳/۰۹	۸۸/۱۱	۵/۸۱	۲۴/۸۸	۵۷/۳۳	۹۴/۳۳	۶/۳۱	گیردار-گیردار		

افزایش سفتی سیستم و به تبع آن افزایش سطح پایداری را با افزایش سرعت بحرانی سیال نشان می دهد. تطابق بسیار خوبی بین نتایج تحقیق حاضر و مرجع [۸] مشاهده می شود.

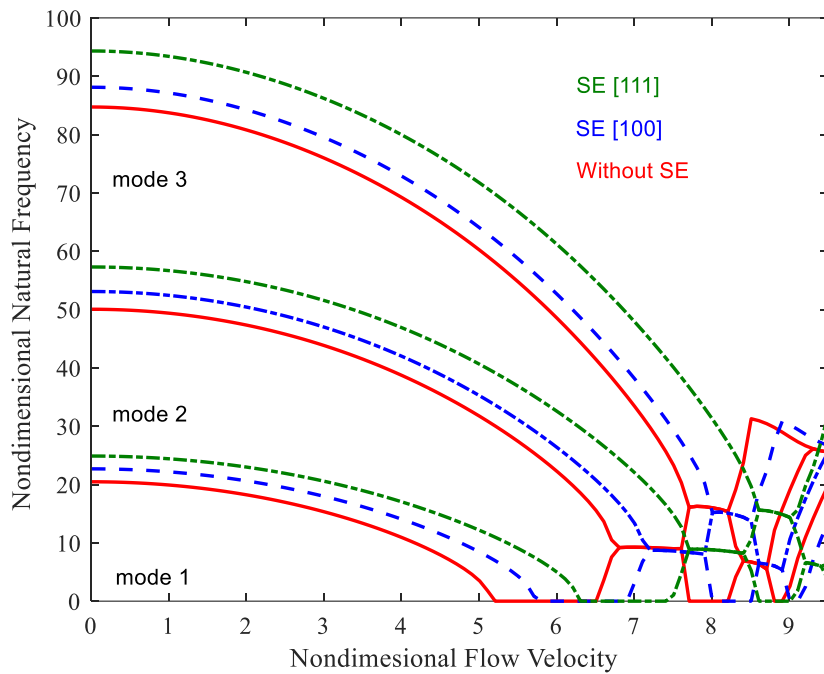
اثر الاستیسیته سطح و تنش پسماند بر منحنی های فرکانس طبیعی بر حسب سرعت سیال برای شرایط مرزی ساده-ساده، ساده-گیردار و گیردار-

ضخامت نانولوله کربنی حامل سیال به ازای نسبت طول به قطر خارجی مختلف با درنظر گرفتن اثر سطح {۱۱۱} در تحقیق حاضر و مرجع [۸] نشان می دهد. بر اساس منحنی های ارائه شده می توان اثر قابل توجه الاستیسیته سطح را بر تغییرات سرعت بحرانی مشاهده نمود. برای ضخامت های پایین تر و نسبت طول به قطر بالاتر اثر الاستیسیته سطح بیشتر بوده که موجب



شکل ۵. اثر سطح بر فرکانس بی بعد نانولوله کربنی تک لایه حامل سیال تحت محیط ترمومغناطیسی در مود ۱ تا ۳ برای شرایط مرزی گیردار ساده

Fig. 5. The surface effect on the non-dimensional frequency at mode 1 to 3 of single-walled CNT conveying fluid with C-S boundary condition



شکل ۶. اثر سطح بر فرکانس بی بعد نانولوله کربنی تک لایه حامل سیال تحت محیط ترمومغناطیسی در مود ۱ تا ۳ برای شرایط مرزی گیردار ساده

Fig. 6. The surface effect on the non-dimensional frequency at mode 1 to 3 of single-walled CNT conveying fluid with C-C boundary condition

جدول ۳. ضرایب معادله رگرسیون محاسبه شده با روش آنالیز پاسخ سطح برای سرعت بحرانی سیال و فرکانس طبیعی نanolوله کربنی حامل سیال در محیط ترمومغناطیسی برای شرط مرزی گیردار

Table 3. The coefficient of regression equation of critical fluid velocity and natural frequency of single-walled CNT conveying fluid under thermomagnetic field for C-C boundary conditions with response surface method

حالت دما بالا				حالت دما پایین				پارامترها
سرعت بحرانی	فرکانس اول	فرکانس دوم	فرکانس سوم	سرعت بحرانی	فرکانس اول	فرکانس دوم	فرکانس سوم	
۶/۱۵۲	۲۶/۶۴	۶۸/۲۴	۱۲۹/۹	۸/۲۲	۲۷/۱۴	۶۹/۰۹	۱۳۰/۹۲	ضریب ثابت
-۰/۰۰۰۱۶	۰/۰۰۴۴	۰/۰۰۸۰	۰/۰۱۰۲	۰/۰۱۰۲۴	۰/۰۰۷۳	۰/۰۱	۰/۰۱۱۵	ضریب مغناطیسی
-۰/۰۰۷۶۱	-۰/۰۲۷۳۶	-۰/۰۴۰۴	-۰/۰۴۶۵	۰/۰۱۲۱۷	۰/۰۳۷۶۶	۰/۰۵۶۴	۰/۰۶۵۸	دما
۰/۰۱۹۱۹	۰/۰۵۹۵۸	۰/۰۸۷۸۹	۰/۱۰۲۵	۰/۰۲۶۵۹	۰/۰۹۰۳۸	۰/۱۳۶۴۲	۰/۱۶۰۵	طول
-۰/۱۱۳	-۱/۳۴۹	-۱/۹۶۲	-۲/۲۴۶	-۰/۷۷۰	۲/۱۱۱	-۳/۱۸۰	۳/۷۰۲	قطر خارجی
۰/۰۲۷	-۰/۰۰۷	-۰/۱	-۰/۴۴	۰/۰۸۶	۰/۰۰۴	-۰/۰۸	-۰/۰۴۲	ضریب غیرمحلي
۰/۰۰۰۱۵۹	۰/۰۰۰۶۶۳	۰/۰۰۰۹۸۷	۰/۰۰۱۱	۰/۰۰۰۱۷۲	۰/۰۰۰۵۹۶	۰/۰۰۰۹۲۷	۰/۰۱۱	ضریب مغناطیسی در
-۰/۰۰۰۰۲۳	-۰/۰۰۰۰۱۳	-۰/۰۰۰۰۹	-۰/۰۰۰۰۰۵	-۰/۰۰۰۰۱۸	-۰/۰۰۰۰۲۰	-۰/۰۰۰۰۱۷	-۰/۰۰۰۰۱۱	ضریب مغناطیسی در دما
۰/۰۰۰۰۱۷	۰/۰۰۰۰۶۳	۰/۰۰۰۱۰۱	۰/۰۰۰۱۱۶	۰/۰۰۰۰۲۸	۰/۰۰۰۱	۰/۰۰۰۱۸۶	۰/۰۰۰۲۳۷	طول در طول
۰/۰۱۹۲	۰/۱۰۷۳	۰/۱۶۱۶	۰/۱۸۸۱	۰/۰۶۸۹	۰/۱۹۷۸	۰/۳۲۰۹	۰/۳۹۰۲	قطر خارجی در قطر خارجی
-۰/۰۲۷۲	۰/۰۰۱	-۰/۰۳۲	-۰/۱۷۸	۰/۰۲۰	۰/۰۰۴	-۰/۰۳۳	-۰/۱۷۱	ضریب غیرمحلي در
-۰/۰۰۰۰۲۳	۰/۰۰۰۰۵۱	۰/۰۰۰۰۴۱	۰/۰۰۰۰۲۷	۰/۰۰۰۰۱۲	-۰/۰۰۰۰۵۱	-۰/۰۰۰۰۴۷	-۰/۰۰۰۰۳۴	ضریب مغناطیسی در دما
۰/۰۰۰۱۴۰	۰/۰۰۰۳۴۳	۰/۰۰۰۶۶۴	۰/۰۰۰۷۷۹	۰/۰۰۰۰۸۶	۰/۰۰۰۳۴۹	۰/۰۰۰۵۸۵	۰/۰۰۰۷۲۲	ضریب مغناطیسی در طول
-۰/۰۰۲۳۳۲	-۰/۰۰۰۹۳۶	-۰/۰۱۴۴۵	-۰/۰۱۷۰۴	-۰/۰۰۲۷۲۱	-۰/۰۰۷۴۹	-۰/۰۱۲۶۲	-۰/۰۱۵۷۰	ضریب مغناطیسی در دما
۰/۰۰	۰/۰۰۰۰۴	۰/۰۰۱۱	۰/۰۰۰۲۱	-۰/۰۰۱۱۷	۰/۰۰۰۴	۰/۰۰۱۰	۰/۰۰۰۱۹	ضریب مغناطیسی در
-۰/۰۰۰۰۴۷	-۰/۰۰۰۲۵۰	-۰/۰۰۰۳۸۳	-۰/۰۰۰۴۴۹	۰/۰۰۰۰۹۸	۰/۰۰۰۲۹۳	۰/۰۰۰۴۹۰	۰/۰۰۰۶۰۵	دما در طول
۰/۰۰۱۳۹۹	۰/۰۰۰۵۳۹	۰/۰۰۸۳۲	۰/۰۰۹۸۱	۰/۰۰۲۰۹۹	-۰/۰۰۶۲۶۶	-۰/۰۱۰۵۷	-۰/۰۱۳۱۵	دما در قطر خارجی
۰/۰۰	-۰/۰۰۰۰۳	-۰/۰۰۰۰۷	-۰/۰۰۰۱۲	۰/۰۰۰۷۰	۰/۰۰۰۳	۰/۰۰۰۰۸	۰/۰۰۰۱۶	دما در ضریب غیرمحلي
-۰/۰۰۲۱۷۷	-۰/۰۰۶۲۸۱	-۰/۰۹۶۷۶	-۰/۰۱۱۳۸۷	-۰/۰۰۳۲۶۵	-۰/۰۱۱۱۰۴	-۰/۰۱۸۶۰۱	-۰/۰۲۳۰۰	طول در قطر خارجی
۰/۰۰	۰/۰۰۰۰۵	۰/۰۰۰۵۸	۰/۰۰۰۲۵۰	۰/۰۰۰۴۶۶	۰/۰۰۰۴	۰/۰۰۰۵۶	۰/۰۰۰۲۴۸	طول در ضریب غیرمحلي
۰/۰۰	-۰/۰۰۰۶	-۰/۰۰۰۲	-۰/۰۰۰۳	-۰/۰۲۳۳	-۰/۰۰۱۲	-۰/۰۰۰۳	-۰/۰۰۰۶	قطر خارجی در ضریب غیرمحلي

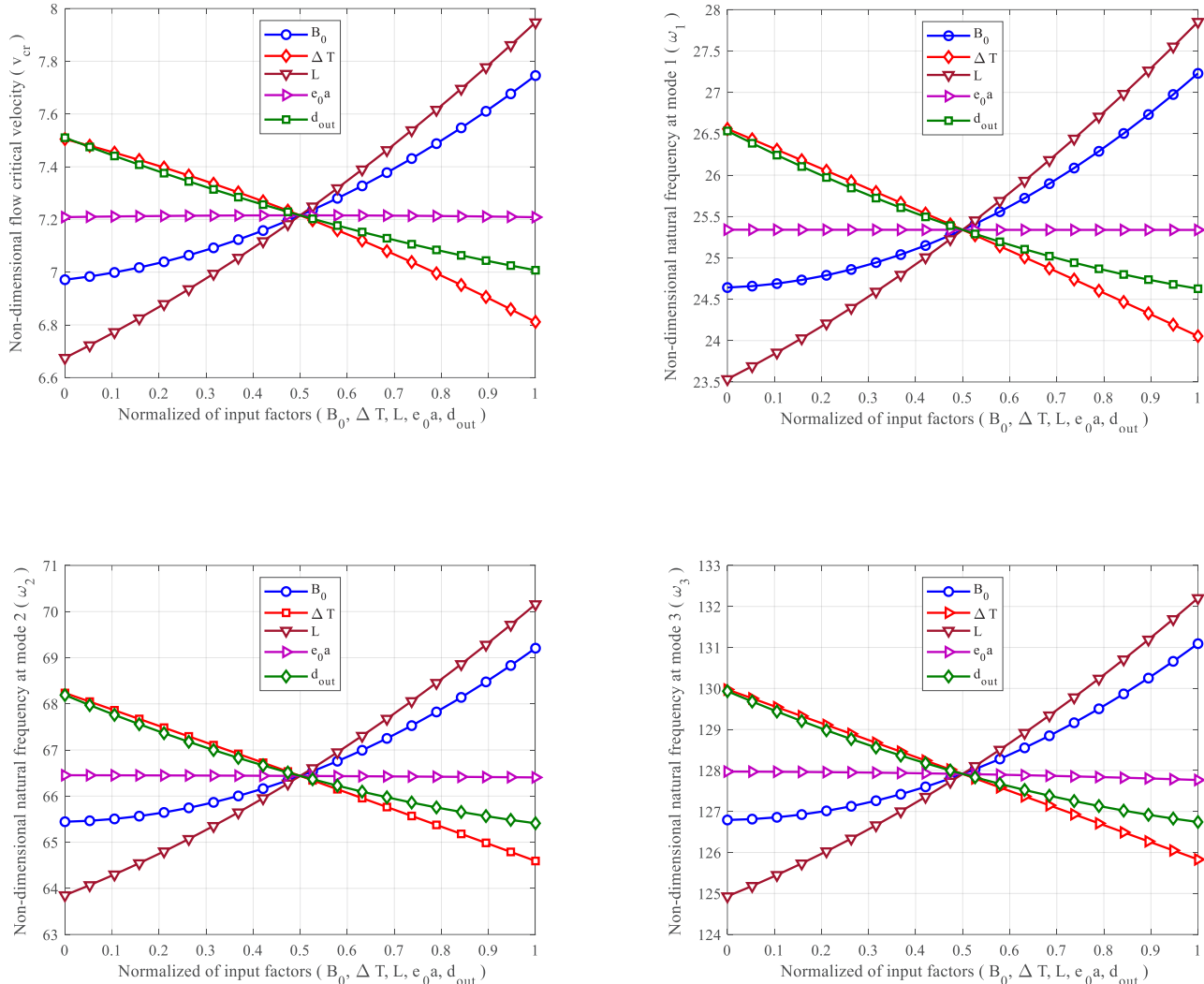
مغناطیسی و قطر خارجی نanolوله کربنی غیرخطی بوده و اثر تغییرات دما تقریباً خطی است. افزایش میدان مغناطیسی به طور مستقیم موجب افزایش سفتی و افزایش دما در حالات دمابالا موجب کاهش سفتی سیستم می‌شود که این دو روند موجب افزایش و کاهش سطح پایداری nanolوله کربنی حامل سیال می‌شوند. همچنین روند افزایشی و کاهشی فرکانس طبیعی در سه مود بر حسب تغییرات میدان مغناطیسی و تغییرات دما نیز به دلیل افزایش و کاهش سفتی سیستم بر حسب این دو فاکتور است. همچنین با افزایش طول و کاهش قطر nanolوله کربنی حامل سیال اثر الاستیسته سطح بر افزایش سفتی سیستم بیشتر شده که این امر موجب افزایش سرعت بحرانی سیال با افزایش طول nanolوله و کاهش قطر آن می‌شود. این روند در منحنی‌های شکل ۳ نیز قابل مشاهده است. علاوه بر این از بین فاکتورهای ورودی در بازه مقادیر منتخب طول nanolوله کربنی بالاترین سطح اثرگذاری را بر تغییرات سرعت بحرانی سیال دارد. مطالعه شکل ۷ نیز بیان می‌کند که میزان اثرگذاری فاکتورهای ورودی بر فرکانس‌های اول تا سوم نیز مشابه اثر آن‌ها بر سرعت بحرانی سیال است با این تفاوت که با افزایش شکل مود اثر پارامتر غیرمحلي بهترین بهتریج به فرم غیرخطی در جهت کاهش فرکانس ظاهر می‌شود. این نوع رفتار برای فرکانس سوم nanolوله کربنی مشهود ولی در مقایسه با حساسیت آنالیز دیگر فاکتورهای ورودی قابل صرف‌نظر است. با توجه به منحنی‌های آنالیز حساسیت ارائه شده در شکل ۸ برای حالت دمابالا و مقایسه آن با حالت دمابالا می‌توان دریافت که تغییرات دما برای حالت دمابالا برخلاف دمابالا اثری خطی مثبت بر تغییرات سرعت سیال و فرکانس‌های بحرانی دارد. همچنین میزان اثرگذاری تغییرات دما در حالت دمابالا نسبت به شدت میدان مغناطیسی بیشتر در حالی که برای حالت دمابالا این رده‌بندی بر عکس است.

۴- نتیجه‌گیری

در این مقاله بر اساس مدل تیر غیرمحلي اویلر برنولی به تحلیل آنالیز حساسیت فرکانسی و سرعت بحرانی سیال nanolوله کربنی تک لایه حامل سیال روی بستر ویسکوالاستیک پرداخته شده است. در مدل سازی اثرات تنش پسماند و الاستیستیه سطح، میدان ترمومغناطیسی برای استخراج معادلات حرکت سیستم در نظر گرفته شده است. روش گالرکین با توابع شکل مثلثاتی متناظر با شرایط مرزی استاندارد ساده-ساده، گیردار-ساده و گیردار-گیردار برای استخراج ماتریس‌های جرم، سفتی و استهلاک مورد استفاده قرار گرفته شده است. شدت میدان مغناطیسی، تغییرات دما، طول nanolوله، قطر خارجی nanolوله و پارامتر غیرمحلي به عنوان فاکتورهای ورودی

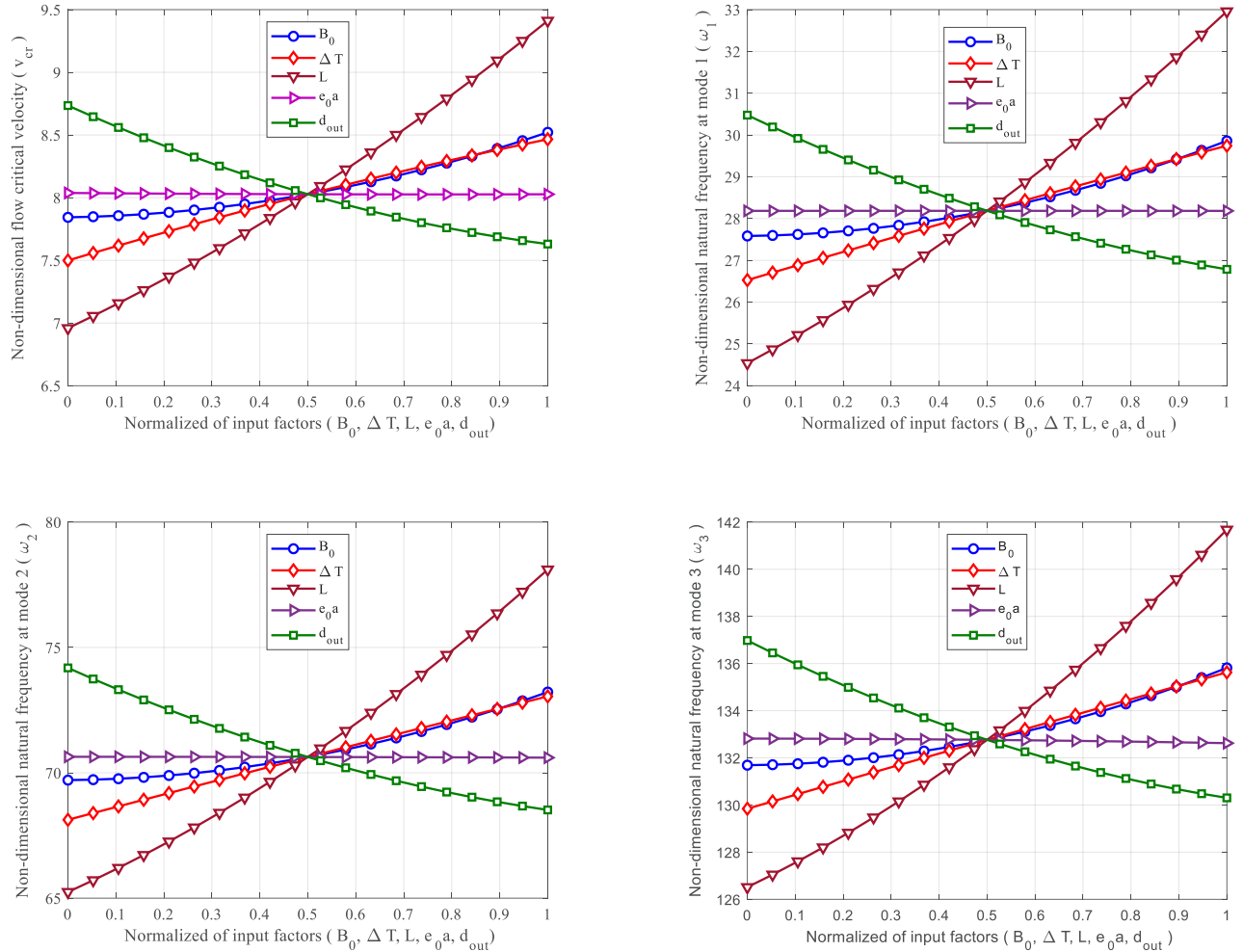
گیردار به ترتیب در شکل‌های ۴، ۵ و ۶ نمایش داده شده است. مقادیر میدان مغناطیسی ۲۰ تسلا و تغییر دما ۳۰ درجه کلوین در نظر گرفته شده است. اثر قابل توجه در نظر گرفتن الاستیستیه سطح بر افزایش سطح پایداری و افزایش فرکانس‌های طبیعی nanolوله کربنی تک لایه حامل سیال برای هر سه شرط مرزی مورد بررسی کاملاً مشهود است. این رفتار بیان می‌کند اثر سطح موج افزایش سفتی سیستم داشته و اثری مثبت بر پایداری سیستم دارد. همچنین جدول ۲ نشان‌دهنده مقادیر سرعت بحرانی و فرکانس‌های طبیعی سیستم در سه مود اول برای سه شرط مرزی مورد مطالعه است. مطالعه مقادیر ارائه شده بیان می‌کند که شرط مرزی ساده-ساده کمترین سطح پایداری و کمترین مقادیر فرکانس طبیعی را نسبت به شرایط مرزی ساده-گیردار و گیردار-گیردار دارد. این امر به دلیل ماهیت تکیه‌گاه گیردار افزایش سفتی سیستم است به همین دلیل nanolوله کربنی با تکیه‌گاه گیردار-گیردار سطح پایداری بالاتری نسبت به تکیه‌گاه گیردار-ساده دارد. برای تحلیل آنالیز حساسیت، میدان مغناطیسی در بازه صفر تا ۶۰ تسلا، تغییرات دما در بازه صفر تا ۱۰۰ درجه کلوین، طول nanolوله کربنی در بازه ۱۰۰ تا ۲۵۰ نانومتر پارامتر غیرمحلي در بازه صفر تا ۱ نانومتر و قطر خارجی nanolوله کربنی در بازه ۷ تا ۱۰ نانومتر به عنوان فاکتورهای ورودی در نظر گرفته شده‌اند. بعد از انتخاب بازه فاکتورهای ورودی، طراحی تست انجام و دسته مقادیر فاکتورهای ورودی تولید شده و بر اساس آن‌ها مقادیر فرکانس‌های طبیعی در سه مود اول و سرعت بحرانی سیال برای شرط مرزی گیردار-گیردار با اثر سطح {۱۱۱} محاسبه شده‌اند. سپس با استفاده از نرم‌افزار مینی تلب به تحلیل حساسیت پرداخته شده است. برای مقایسه هریک از فاکتورهای ورودی و تعیین کیفی و کمی میزان اثر آن‌ها در مقایسه با یکدیگر، این فاکتورها نرمالیزه شده و تغییرات سرعت بحرانی سیال و فرکانس‌های طبیعی سیستم بر حسب فاکتورهای نرمالیزه شده در یک شکل ترسیم شده است. ضرایب توابع رگرسیون متناظر با سرعت بحرانی سیال و فرکانس‌های اول تا سوم nanolوله کربنی در جدول ۳ ارائه شده است.

شکل‌های ۷ و ۸ برای تحلیل و آنالیز حساسیت سرعت بحرانی سیال و فرکانس‌های طبیعی اول تا سوم nanolوله کربنی تک لایه حامل سیال برای دو وضعیت دمابالا و دمابالا و دمابالا با در نظر گرفتن اثر سطح استخراج شده است. مطابق منحنی‌های ارائه شده در شکل ۷ می‌توان دریافت که فاکتورهای طول nanolوله کربنی و شدت میدان مغناطیسی دارای اثر مثبت و تغییرات دما و قطر خارجی nanolوله کربنی دارای اثر منفی هستند در حالی که پارامتر غیرمحلي بر تغییرات سرعت بحرانی سیال بی‌اثر است. همچنین اثرات طول، شدت میدان



شکل ۷. آنالیز حساسیت سرعت بی بعد بحرانی سیال و فرکانس طبیعی در مود ۱ تا ۳ نانولوله کربنی حامل سیال در محیط ترمومغناطیسی بر حسب فاکتورهای ورودی نرمالیزه برای شرط مرزی گیردار-گیردار در حالت دما بالا

Fig. 7. Sensitivity analysis of non-dimensional critical fluid velocity and frequency at mode 1 to 3 with normalized of factors for C-C boundary conditions in the case of high temperature



شکل ۸. آنالیز حساسیت سرعت بی بعد بحرانی سیال و فرکانس طبیعی در مود ۱ تا ۳ نانولوله کربنی حامل سیال در محیط ترمومغناطیسی بر حسب فاکتورهای ورودی نرمالیزه برای شرط مرزی گیردار-گیردار در حالت دماپابین

Fig. 8. Sensitivity analysis of non-dimensional critical fluid velocity and frequency at mode 1 to 3 with normalized of factors for C-C boundary conditions in the case of low temperature

مدول الاستیسیته سطح (N/m)	E_s	برای آنالیز حساسیت بر فرکانس‌های بحرانی و سرعت بحرانی سیال انتخاب شده‌اند. با طراحی تست در بازه‌ای مشخص از فاکتورهای ورودی توابع مورد بررسی محاسبه وتابع رگرسیون متناظر استخراج شد. با نرمالیزه کردن فاکتورهای ورودی امکان مقایسه کیفی و کمی اثر آن‌ها بر توابع مورد بررسی فراهم شده است. مهم‌ترین نتایج این تحقیق به شرح زیر است:
ضریب غیرموضعی (nm)	e_0a	• درنظرگرفتن اثر الاستیسیته سطح برای دو حالات {۱۱۱} و
نیروی تحریک (N)	F_{ext}	{۱۰۰} موجب افزایش سفتی سیستم و بهتی افزایش پایداری نanolوله کربنی تک لایه حامل شده و سرعت بحرانی سیال که معیاری برای آستانه ناپایداری سیستم است به همراه فرکانس‌های طبیعی آن افزایش می‌یابد.
نیروی برهمنکنش سیال-جامد (N)	$F_f(x,t)$	• پایداری نanolوله کربنی تک لایه حامل سیال با شرایط مرزی گیردار-گیردار به دلیل بالاترین مقدار ماتریس سفتی بیشترین سطح پایداری را در مقایسه با شرایط مرزی گیردار-ساده-ساده دارد.
نیروی تنش پسماند سطح (N)	$F_t(x,t)$	• طول نanolوله و شدت میدان مغناطیسی دارای اثر مشت و تعییرات دما در حالت دمابالا و قطر نanolوله دارای اثری منفی بر تعییرات سرعت بحرانی سیال و فرکانس‌های طبیعی نanolوله کربنی تک لایه حامل سیال دارد. اثر تعییرات دما در حالت دمابایین مشتب است.
نیروی بستر ویسکوالاستیک (N)	$F_m(x,t)$	• اثرات طول نanolوله، شدت میدان مغناطیسی و قطر نanolوله بر تعییرات سرعت بحرانی سیال و فرکانس‌های طبیعی نanolوله کربنی تک لایه حامل سیال در حالی که اثر تعییرات دما خطی است.
نیروی میدان دمایی (N)	$F_T(x,t)$	• پارامتر غیرمحلي بر سرعت بحرانی سیال و فرکانس‌های اول و دوم تقریباً بدون حساسیت قابل توجهی است ولی با افزایش شکل مود اثر منفی پارامتر غیرمحلي در نمودارهای آنالیز حساسیت فرکانس طبیعی مود سوم قابل مشاهده است.
نیروی میدان مغناطیسی (N)	$F_B(x,t)$	• سرعت بحرانی سیال و فرکانس‌های طبیعی بیشترین حساسیت را نسبت به طول نanolوله دارند و شدت میدان مغناطیسی، تعییرات دما در حالت دمابالا، قطر نanolوله و پارامتر غیرمحلي به ترتیب در ردیهای بعدی بالاترین علائم انگلیسی
شمارنده توابع شکل (m ⁴)	i	مساحت، (m ²) A
ممان اینرسی (m)	I	شدت میدان مغناطیسی (T) B_0
ماتریس سفتی	k	ماتریس استهلاک C
ضریب الاستیک بستر ویسکوالاستیک (N/m)	k_m	ضریب استهلاک بستر ویسکوالاستیک (N.s/m) C_m
طول نanolوله کربنی (nm)	L	قطر داخلی نanolوله (nm) d_{in}
جرم واحد طول نanolوله کربنی (Kg/m)	m_c	قطر خارجی نanolوله (nm) d_{out}
جرم واحد طول سیال (Kg/m)	m_f	مدول الاستیسیته، (N/m ²) E
گشتاور (Nm)	$M(x,t)$	
ماتریس جرم	M	
شمارنده توابع شکل	N	
زمان (s)	t	
سرعت سیال (m/s)	V	
سرعت بی بعد سیال	v	
جابجایی عرضی نanolوله کربنی (m)	$w(x,t)$	
مختصات در راستای محوری	x	
علائم یونانی		
ضریب نفوذ دمایی (1/K)	a_x	
پارامتر بی بعد ضریب میرایی	a_c	
پارامتر بی بعد نیرو	a_F	
پارامتر بی بعد ضریب الاستیک	a_k	
پارامتر بی بعد جابجایی عرضی	$\Gamma(\tau)$	
تعییرات دما	ΔT	
ضریب نفوذپذیری میدان مغناطیسی	η	
دامنه بی بعد جابجایی عرضی	$\Lambda_i(\tau)$	
پارامتر بی بعد غیرمحلي	μ	
ضریب پواسون	ν	
پارامتر بی بعد مختصات محوری	ξ	
پارامتر بی بعد زمان	τ	
تنش پسماند سطحی (N/m)	τ_s	
اپراتور مشتق جزئی	∂	

حساسیت قرار دارند. جایگاه تغییرات دما و شدت میدان مغناطیسی در حالت دمای پایین از لحاظ میزان حساسیت نسبت به حالت دمابالا عوض می‌شود.

تشکر و قدردانی:

نگارندگان بر خود لازم می‌دانند از حمایت دانشگاه آزاد اسلامی واحد علوم و تحقیقات و واحد رامسر در انجام این تحقیق کمال تشکر و قدردانی نمایند.

۵- فهرست علائق

منابع

- [1] J. Yoon, C.Q. Ru, A. Mioduchowski, Flow-induced flutter instability of cantilever carbon nanotubes, *International Journal of Solids and Structures*, 43(11-12) (2006) 3337-3349.
- [2] H.L. Lee, W.J. Chang, Surface effects on frequency analysis of nanotubes using nonlocal Timoshenko beam theory, *Journal of Applied Physics*, 108(9) (2010).
- [3] H.L. Lee, W.J. Chang, Vibration analysis of a viscous-fluid-conveying single-walled carbon nanotube embedded in an elastic medium, *Physica E: Low-dimensional Systems and Nanostructures*, 41(4) (2009) 529-532.
- [4] Y. Zhen, B. Fang, Thermal-mechanical and nonlocal elastic vibration of single-walled carbon nanotubes conveying fluid, *Computational Materials Science*, 49(2) (2010) 276-282.
- [5] P. Soltani, M.M. Taherian, A. Farshidianfar, Vibration and instability of a viscous-fluid-conveying single-walled carbon nanotube embedded in a visco-elastic medium, *Journal of Physics D: Applied Physics*, 43(42) (2010).
- [6] F. Kaviani, H.R. Mirdamadi, Influence of Knudsen number on fluid viscosity for analysis of divergence in fluid conveying nano-tubes, *Computational Materials Science*, 61 (2012) 270-277.
- [7] T.P. Chang, Thermal-mechanical vibration and
- instability of a fluid-conveying single-walled carbon nanotube embedded in an elastic medium based on nonlocal elasticity theory, *Applied Mathematical Modelling*, 36(5) (2012) 1964-1973.
- [8] L. Wang, Vibration analysis of fluid-conveying nanotubes with consideration of surface effects, *Physica E: Low-dimensional Systems and Nanostructures*, 43(1) (2010) 437-439.
- [9] F. Liang, Y. Su, Stability analysis of a single-walled carbon nanotube conveying pulsating and viscous fluid with nonlocal effect, *Applied Mathematical Modelling*, 37(10-11) (2013) 6821-6828.
- [10] Z. Zhang, Y. Liu, B. Li, Free vibration analysis of fluid-conveying carbon nanotube via wave method, *Acta Mechanica Solida Sinica*, 27(6) (2014) 626-634.
- [11] J. Zhang, S.A. Meguid, Effect of surface energy on the dynamic response and instability of fluid-conveying nanobeams, *European Journal of Mechanics - A/Solids*, 58 (2016) 1-9.
- [12] L. Wang, Y. Hong, H. Dai, Q. Ni, Natural Frequency and Stability Tuning of Cantilevered CNTs Conveying Fluid in Magnetic Field, *Acta Mechanica Solida Sinica*, 29(6) (2016) 567-576.
- [13] R. Bahaadini, M. Hosseini, Effects of nonlocal elasticity and slip condition on vibration and stability analysis of viscoelastic cantilever carbon nanotubes conveying fluid, *Computational Materials Science*, 114 (2016) 151-159.
- [14] R. Bahaadini, M. Hosseini, M. Amiri, Dynamic stability of viscoelastic nanotubes conveying pulsating magnetic nanoflow under magnetic field, *Engineering with Computers*, (2020).
- [15] S. Oveissi, S.A. Eftekhari, D. Toghraie, Longitudinal vibration and instabilities of carbon nanotubes conveying fluid considering size effects of nanoflow and nanostructure, *Physica E: Low-dimensional Systems and Nanostructures*, 83 (2016) 164-173.

- a longitudinal magnetic field, Physics Letters A, 381(35) (2017) 2898-2905.
- [19] M. Sadeghi-Goughari, S. Jeon, H.J. Kwon, Flutter instability of cantilevered carbon nanotubes caused by magnetic fluid flow subjected to a longitudinal magnetic field, Physica E: Low-dimensional Systems and Nanostructures, 98 (2018) 184-190.
- [20] Q. Cheng, Y. Liu, G. Wang, H. Liu, M. Jin, R. Li, Free vibration of a fluid-conveying nanotube constructed by carbon nanotube and boron nitride nanotube, Physica E: Low-dimensional Systems and Nanostructures, 109 (2019) 183-190.
- [21] R. Bahaadini, M. Hosseini, B. Jamali, Flutter and divergence instability of supported piezoelectric nanotubes conveying fluid, Physica B: Condensed Matter, 529 (2018) 57-65.
- [22] Z.H. Li, Y.Q. Wang, Vibration and stability analysis of lipid nanotubes conveying fluid, Microfluidics and Nanofluidics, 23(11) (2019).
- [23] H.M. Sedighi, Divergence and flutter instability of magneto-thermo-elastic C-BN hetero-nanotubes conveying fluid, Acta Mechanica Sinica, 36(2) (2020) 381-396.
- [16] S. Oveissi, A. Ghassemi, Longitudinal and transverse wave propagation analysis of stationary and axially moving carbon nanotubes conveying nano-fluid, Applied Mathematical Modelling, 60 (2018) 460-477.
- [17] M. Sadeghi-Goughari, S. Jeon, H.J. Kwon, Fluid structure interaction of cantilever micro and nanotubes conveying magnetic fluid with small size effects under a transverse magnetic field, Journal of Fluids and Structures, 94 (2020).
- [18] M. Sadeghi-Goughari, S. Jeon, H.J. Kwon, Effects of magnetic-fluid flow on structural instability of a carbon nanotube conveying nanoflow under

چگونه به این مقاله ارجاع دهیم

H. Mahjoub¹, H. Ramezannejad Azarboni, Instability and frequency sensitivity analysis of single-walled carbon nanotubes conveying fluid under thermomagnetic field considering the surface effect, Amirkabir J. Mech Eng., 53(Special Issue 6)(2021) 3875-3890.

DOI: [10.22060/mej.2019.15465.6128](https://doi.org/10.22060/mej.2019.15465.6128)

